

[研究简报]

# 酶催化-荧光猝灭法测定药物中的万古霉素

冯霞光, 张 敏, 赵 虎, 王怀友

(山东师范大学化学化工与材料科学学院, 济南 250014)

关键词 万古霉素; 酪氨酸; 辣根过氧化酶;  $H_2O_2$ ; 荧光猝灭

中图分类号 O657.39

文献标识码 A

文章编号 0251-0790(2007)07-1270-03

万古霉素对革兰氏阳性细菌、金黄色葡萄球菌和表皮葡萄球菌有较好疗效, 且不易诱导细菌产生耐药性, 因而深受临床工作者重视。但其具有耳、肾毒副反应, 临床应用时常需进行血药浓度监测, 以避免耳、肾功能损害<sup>[1]</sup>。测定血清、血浆、尿液及药物制剂中万古霉素含量的方法有多种, 如荧光偏振免疫法<sup>[2]</sup>、放射性免疫测定<sup>[3]</sup>、微生物测定法<sup>[4]</sup>、高效液相色谱法<sup>[5,6]</sup>、伏安法<sup>[7]</sup>、热解质谱法<sup>[8]</sup>及气相色谱-质谱联用技术<sup>[9]</sup>。但这些方法所需设备昂贵、反应条件苛刻、操作费时。因此, 建立一种简便、快捷且选择性好的定量分析万古霉素的方法将具有较好的应用价值。

近年来, 随着酶的理论与实际应用的发展, 酶法分析已成为分析化学的一个重要分支, 辣根过氧化酶作为一种重要的酶制剂, 被广泛应用于生物工艺技术<sup>[10,11]</sup>、生物传感器<sup>[12~14]</sup>及神经解剖学<sup>[15]</sup>等领域。介质环境对辣根过氧化物酶催化荧光反应体系的影响已有报道<sup>[16]</sup>。酪氨酸在辣根过氧化物酶(HRP)催化下可被  $H_2O_2$  氧化为强荧光物质<sup>[17]</sup>。实验发现, 万古霉素对产物的荧光具有猝灭作用, 根据这种原理, 本文研究了万古霉素的荧光猝灭机理, 建立了测定万古霉素的方法。该方法具有操作简便、快速及选择性好等优点, 可用于注射液中万古霉素含量的测定, 与药典法对照, 结果令人满意。

## 1 实验部分

1.1 仪器与试剂 FLS920 荧光分光光度计(Edinburgh, 英国); pH-3C型酸度计(上海雷磁仪器厂)。

1000  $\mu\text{g}/\text{mL}$  盐酸万古霉素(化学对照品, 纯度 99.8%, 中国药物和生物制品鉴定所, 于 4 °C 避光保存); 酪氨酸(色谱纯, 上海试剂公司), 辣根过氧化酶(Sigma 公司): 100  $\mu\text{g}/\text{mL}$ , 用时稀释至 20.0  $\mu\text{g}/\text{mL}$ (于 4 °C 避光保存);  $H_2O_2$ : 体积分数为 0.3%, 用时稀释至体积分数为  $3 \times 10^{-3}\%$ , 现用现配;  $\text{Na}_2\text{CO}_3/\text{NaHCO}_3$  缓冲溶液:  $\text{pH} = 10.08$ . 其它试剂均为分析纯, 水均为二次水。

1.2 实验过程 准确移取 1.00 mL 酪氨酸于 10 mL 容量瓶中, 依次加入 1.00 mL  $H_2O_2$ 、1.00 mL HRP 及缓冲溶液 2.00 mL, 用水稀释到刻度, 混匀, 于室温放置 20 min, 在 307 nm 处激发, 在 400 nm 处测量其荧光强度( $F_0$ ); 按照上述试剂量加于另一 10 mL 容量瓶中, 再加入 1.00 mL 万古霉素, 按照相同步骤测定其荧光强度( $F$ )。

## 2 结果与讨论

2.1 产物荧光光谱 由图 1 可知, 产物的激发波长为 307 nm, 发射波长为 400 nm, 加入万古霉素后, 产物的相对荧光强度降低, 表明发生了荧光猝灭。

2.2 荧光猝灭机理探讨 万古霉素对产物具有猝灭作用, 将不同浓度的万古霉素加入到产物中, 按照分析步骤测定  $F_0$  及  $F$ , 绘制 Stern-Volmer 图。若猝灭过程为动态猝灭<sup>[18]</sup>, 需满足 Stern-Volmer 方程,  $F_0/F$  与猝灭剂的浓度呈如下线性关系:

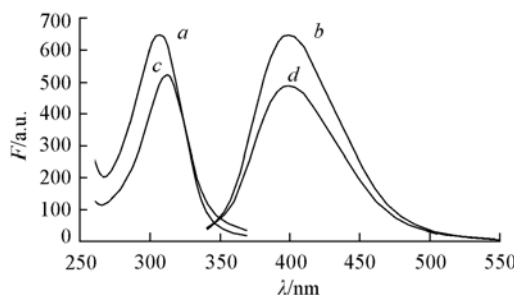
$$F_0/F = 1 + k_q \tau_0 [Q] = 1 + K_{sv} [Q] \quad (1)$$

式中,  $F_0$  为未加入猝灭剂时的荧光强度,  $F$  为加入给定浓度的猝灭剂时的荧光强度,  $k_q$  为猝灭过程的

收稿日期: 2006-11-24.

基金项目: 山东省自然科学基金(批准号: Y2006B31)资助。

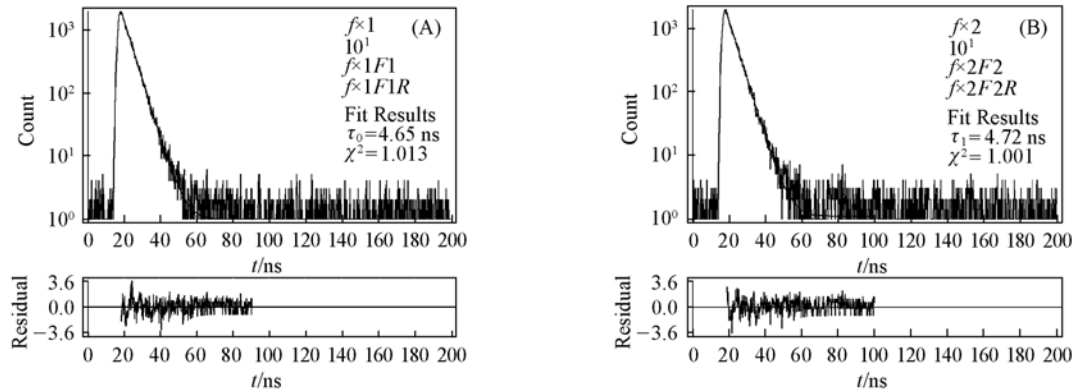
联系人简介: 王怀友(1952 年出生), 男, 教授, 从事光分析化学研究. E-mail: wanghuaiyou@sdnu.edu.cn



**Fig. 1 Fluorescence spectra of the product**

a and b were excitation and emission spectra of the product, respectively; c and d were excitation and emission spectra of the product in the presence of vancomycin, respectively.

入猝灭剂万古霉素时的荧光寿命, 结果如图2所示。由图2可知,  $\tau_0$  为 4.65 ns,  $\tau_1$  为 4.72 ns,  $\tau_0/\tau_1 \approx 1$ , 万古霉素对产物的猝灭过程为静态猝灭。由方程式(2)得到  $K$  值为  $4.6 \times 10^3$ 。



**Fig. 2 Fluorescence lifetime of the product(A) and in the presence of vancomycin(B)**

2.3 pH 值影响 按照分析步骤, 实验了 pH 对产物荧光强度的影响, 结果显示, 产物的荧光强度随 pH 值的增大而增加, 在 pH = 8.0 ~ 11.8 之间, 产物的荧光强度没有显著变化。因此选定 pH = 10.08 的  $\text{Na}_2\text{CO}_3/\text{NaHCO}_3$  缓冲溶液控制体系的 pH 值。另外发现, 缓冲溶液对万古霉素的测定也没有影响。

2.4 试剂加入顺序和放置时间的影响 按照分析步骤, 实验了试剂加入顺序对测定的影响。结果表明, 试剂的最佳加入顺序为: 酪氨酸,  $\text{H}_2\text{O}_2$ , HRP, 缓冲溶液, 万古霉素。测定了放置时间对产物荧光强度的影响。结果表明, 于室温放置 20 min 后, 荧光强度不再变化, 并且至少稳定 2.5 h。

2.5 干扰离子的影响 实验了常见离子对测定 100.0  $\mu\text{g}/\text{mL}$  万古霉素的影响, 结果表明, 500  $\mu\text{g}/\text{mL}$  的  $\text{K}^+$ ,  $\text{Na}^+$ ,  $\text{Cl}^-$  及  $\text{OAc}^-$ ; 400  $\mu\text{g}/\text{mL}$  的  $\text{NO}_3^-$  及  $\text{SO}_4^{2-}$ ; 300  $\mu\text{g}/\text{mL}$  的  $\text{CO}_3^{2-}$ ; 200  $\mu\text{g}/\text{mL}$  的  $\text{HPO}_4^{2-}$ ,  $\text{H}_2\text{PO}_4^-$  及  $\text{HCO}_3^-$ ; 150  $\mu\text{g}/\text{mL}$  的腺嘌呤; 50  $\mu\text{g}/\text{mL}$  的  $\text{Ca}^{2+}$ ; 40  $\mu\text{g}/\text{mL}$  的胸腺嘧啶以及 30  $\mu\text{g}/\text{mL}$  的  $\text{Mg}^{2+}$  均不对结果产生影响。

2.6 工作曲线 在实验条件下测得万古霉素的质量浓度在 40.0 ~ 450.0  $\mu\text{g}/\text{mL}$  范围内与  $F_0/F$  呈线性关系, 线性回归方程为  $c = 320.5 F_0/F - 297.4$ , 线性相关系数为 0.9991。

2.7 精密度和检出限的测定 将同一样品测定 10 次, 测得万古霉素的平均含量为 109.84  $\mu\text{g}/\text{mL}$ , 相对标准偏差为 0.70%。按照同样的分析步骤测定试剂空白 10 次, 得出检出限为 10.91  $\mu\text{g}/\text{mL}$ 。

2.8 万古霉素回收率 从表 1 结果可见, 万古霉素的回收率在 91.7% ~ 98.3% 之间。

**Table 1 Results for the recovery of the vancomycin**

Sample No.	Sample content/( $\mu\text{g} \cdot \text{mL}^{-1}$ )	Added/( $\mu\text{g} \cdot \text{mL}^{-1}$ )	Average found/( $\mu\text{g} \cdot \text{mL}^{-1}$ )	Average recovery(%)	RSD(%)
1	57.25	100	157.21	98.3	2.63
2	96.04	100	184.59	92.3	1.53
3	198.21	100	275.05	91.7	1.40

2.9 注射液中万古霉素的测定 将万古霉素注射液稀释至不同浓度进行测定，并根据中国药典中的液相色谱法测定这些样品中万古霉素的浓度(表2)。由表2可看出，本文提出的方法与药典法<sup>[20]</sup>的测定结果吻合，用Cochran法<sup>[21]</sup>检验表2中的数据，在置信度等于95%时，两种方法无明显差异。

**Table 2 Results of determination of the vancomycin ( $\mu\text{g} \cdot \text{mL}^{-1}$ )**

Sample No.	Proposed method	HPLC <sup>[20]</sup>
1	$57.25 \pm 4.18$	$58.42 \pm 3.21$
2	$96.04 \pm 5.72$	$97.83 \pm 5.16$
3	$198.21 \pm 3.77$	$198.79 \pm 4.97$

## 参 考 文 献

- [1] DAI Zhi-Yong(戴智勇), LI Xin-Zhong(李新中), YIN Tao(尹桃), et al.. Chinese Journal of Antibiotics(中国抗生素杂志)[J], 2002, **27**(10): 599—601
- [2] Schwenzer K. S., Wang C. H. J., Anhalt J. P.. Ther. Drug Monit. [J], 1983, **5**: 341—345
- [3] Crossley C. B., Rotschafer J. C., Chen M. M., et al.. Antimicrob. Agents Chemother[J], 1980, **17**: 654—657
- [4] Walker C. A., Koop B.. Antimicrob. Agents Chemother[J], 1978, **13**: 30—33
- [5] Ristuccia P. A., Ristuccia A. M., Bidasnset J. H., et al.. Ther. Drug Monit. [J], 1984, **6**: 238—242
- [6] Bauchet J., Puissard E., Garaud J. J.. J. Chromatogr. [J], 1987, **414**: 472—476
- [7] Belal F., el-Ashry S. M., el-Kerdawy M. M., et al.. Arzneimittelforschung[J], 2001, **51**(9): 763—768
- [8] Alireza G., Masoud K. D., Feridoun S. A.. Talanta[J], 2001, **55**(3): 573—580
- [9] Shibata N., Ishida M., Prasad Y. V. R., et al.. Journal of Chromatography B[J], 2003, **789**(2): 211—218
- [10] Ryan B. J., Carolan N., Fágáin CÓ'. Trends in Biotechno. [J], 2006, **24**: 355—363
- [11] Azevedo A. M., Matins V. C., Prazeres D. M., et al.. Biotecnol. Annu. Rev. [J], 2003, **9**: 199—247
- [12] Ruzgas T., Emneus J., Gorton L., et al.. Anal. Chim. Acta[J], 1995, **311**: 245—253
- [13] Caramori S. S., Fernandes K. F.. Process Biochem. [J], 2004, **39**: 883—888
- [14] Luo X. L., Xu J. J., Zhang Q., et al.. Biosensoer and Bioelectronics[J], 2005, **21**: 190—196
- [15] Jeffery A., Winer A.. Biobehavioral Reviews[J], 1977, **1**: 45—54
- [16] Tang B., Wang Y., Liang H., et al.. Spectrochim. Acta, Part A[J], 2006, **63**: 609—613
- [17] Yamazaki I., Mason H. S., Piette L.. Biochem. Biophys. Res. Commun. [J], 1959, **1**: 336—337
- [18] Lakowicz J. R.. Principles of Fluorescence Spectroscopy, 2nd Ed. [M], New York: Plenum Press, 1986: 264
- [19] CHEN Guo-Zhen(陈国珍), HUANG Xian-Zhi(黄贤智), ZHENG Zhu-Zi(郑朱梓), et al.. Method of Fluorescence Analysis(荧光分析法), 2nd Ed. [M], Beijing: Science Press, 1991: 115—118
- [20] The Pharmacopoeia Committee of the Ministry of Health of People's Republic of China(中华人民共和国药典委员会). Pharmacopoeia of People's Republic of China, Part II(中华人民共和国药典, 二部)[M], Beijing: Chemical Industry Press, 2000: 554
- [21] ZHENG Yong-Xi(郑用熙). The Method of Mathematical Statistics in Analytical Chemistry(分析化学中的数理统计方法)[M], Beijing: Science Press, 1986: 122, 231, 308

## Determination of Vancomycin in Injection via Enzyme Catalysis-Fluorescence Quenching Method

FENG Xia-Guang, ZHANG Min, ZHAO Hu, WANG Huai-You\*

(College of Chemistry, Chemical Engineering and Materials Science, Shandong Normal University, Jinan 250014, China)

**Abstract** A new method for determining vancomycin was established based on the principle of fluorescence quenching. The mechanism of the fluorescence quenching was discussed. A linear relationship is obtained between  $F_0/F$  and the concentration of vancomycin in the range of 40.0—450.0  $\mu\text{g}/\text{mL}$  with the correlation coefficient 0.9991. The detection limit was 10.91  $\mu\text{g}/\text{mL}$  and the relative standard derivative was 0.70%. The effects of pH, foreign ions, standing time on the determination of vancomycin were examined. The results obtained by this method were agreed with those by the official method.

**Keywords** Vancomycin; Tyrosine; Horseradish peroxidase;  $\text{H}_2\text{O}_2$ ; Fluorescence quenching

(Ed.: A, G)